

طراحی و ساخت دستگاه اندازه‌گیری ضریب هدایت حرارتی و اندازه‌گیری ضریب هدایت حرارتی یک نمونه نانو سیال مغناطیسی

هادی کارگر شریف‌آباد^{۱*}، مرتضی میرزایی امیر‌آباد^۲

۱- استادیار، گروه مهندسی مکانیک، واحد سمنان، دانشگاه آزاد اسلامی، سمنان، ایران

۲- کارشناسی، گروه مهندسی مکانیک، واحد سمنان، دانشگاه آزاد اسلامی، سمنان، ایران

* سمنان، صندوق پستی ۳۵۱۴۵-۱۷۹

h.kargar@semnaniau.ac.ir

چکیده

اگاهی از ضریب هدایت حرارتی نانو سیال‌ها با توجه به توسعه چشمگیر استفاده از آنها در پژوهش‌ها ضروری است که با توجه به ناتوانی مدل‌های رانه شده در اکثر موارد لازم است بصورت تجربی ضریب هدایت حرارتی اندازه‌گیری شود. در این مقاله طراحی و بررسی عملکرد دستگاه اندازه‌گیری ضریب هدایت حرارتی سیالات و نانو سیالات بدون استفاده از پل و تستون بررسی شده است. سایقاً از روش پل و تستون برای ساخت سیم داغ کوتاه گزرا استفاده می‌شود که نیاز به سیستم الکترونیکی پیچیده و مصرف توان الکتریکی بالای دارد. در این مقاله روش جدیدی رانه شده است به طوری که نه جریان ثابت نگهداشت شده است و نه ولتاژ، بلکه از روش اندازه‌گیری مقاومت نسبی و از پرایم مسی با روکش لامپی با قطر ۴۰ میکرون استفاده شده است که به راحتی در دسترس است. بیشترین اختلاف نتایج این طراحی با مراجع، ۱/۱۷٪ به دست آمده است. در این راستا تغییرات ضریب هدایت حرارتی سیال مغناطیسی به صورت تجربی بررسی شده است. سیال‌های مغناطیسی دسته جدیدی از نانو سیال‌ها هستند که تحت تأثیر میدان مغناطیسی قرار می‌گیرند و خواص آنها دچار تغییر می‌شود. آزمایش‌ها برای سیال مغناطیسی Fe_3O_4 بر پایه آب با درصد های حجمی مختلف انجام شده است.

اطلاعات مقاله

پادا داشت پژوهشی

دریافت: ۱۴ بهمن ۱۳۹۳

پذیرش: ۱۵ اسفند ۱۳۹۳

ارائه در سایت: ۲۳ فروردین ۱۳۹۴

کلید واژگان:

نانو سیال

ضریب هدایت حرارتی

سیم داغ گذرا

پل و تستون

نانو سیال مغناطیسی

Design and construction of thermal conductivity measurement device and measuring of a magnetic nanofluids thermal conductivity

Hadi Kargarsharifabab^{1*}, Morteza Mirzaeiamirabad²

1- Department of Mechanical Engineering, Semnan Branch, Islamic Azad University, Semnan, Iran

2- Department of Mechanical Engineering, Semnan Branch, Islamic Azad University, Semnan, Iran

* P.O.B. 35145-179, Semnan, Iran, h.kargar@semnaniau.ac.ir

ARTICLE INFORMATION

Research Note

Received 03 February 2015

Accepted 06 March 2015

Available Online 12 April 2015

Keywords:

Nanofluids

magnetic nanofluid

thermal conductivity

transient hot wire

Wheatstone bridge

ABSTRACT

Awareness of the thermal conductivity of nanofluids with regard to a significant development for use in research is necessary considering the inability of the analytical and experimental models that are presented in most cases; it's experimentally thermal conductivity can be measured. In this paper, the design and performance of thermal conductivity of fluids and nanofluids measurement device without using a Wheatstone bridge is tested. Wheatstone bridge short transient hot wire method has previously been used for construction requiring complex electronic systems and high power consumption. In this paper, a new method is provided so that no current or voltage is kept constant, but the method of measuring the relative resistance of the copper-clad lacquered with a diameter of 40 microns was used probe is easy to is within reach. A difference of 1.17% between the results of the design references obtained. In this regard, changes in the magnetic fluid thermal conductivity are studied experimentally. Magnetic fluids are a new class of nanofluids that are affected by magnetic fields and their properties can be changed. Fe_3O_4 magnetic water-based tests for different volume percentages.

ضریب هدایت حرارتی نانو سیال‌ها به دلیل رفتارها و حرکت‌های پیچیده

آن‌ها، انکارپذیر نیست. لذا برای انجام پژوهش‌های دقیق وجود ابزاری برای اندازه‌گیری ضریب هدایت حرارتی نانو سیال‌ها لازم است. با مشخص شدن توانایی نانو سیال‌ها در افزایش جابجا‌ی انتقال حرارت، پژوهشگران متعددی خواص حرارتی آن‌ها را به صورت تجربی و تئوری بررسی نموده‌اند. در بررسی‌های تجربی با استفاده از وسایلی که اکثراً بر مبنای روش سیم داغ گذرا عمل می‌کنند، ضریب هدایت حرارتی مؤثر نانو سیال اندازه‌گیری و اثر

-۱ مقدمه

آگاهی از ضریب هدایت حرارتی نانو سیالات مختلف از لحاظ جنس نانو سیال، غلظت نانو سیال، PH اسیدی نانو سیال، ابعاد نانوذرات محلول در سیال مبنای... در راستای رشد روزافزون استفاده از نانو سیال‌ها و جهت طراحی دقیق دستگاه‌های انتقال حرارتی، امری ضروری است. علیرغم ارائه روابط تئوری متعددی که توسط محققان مختلف [۱] برای مدل‌سازی ضریب هدایت حرارتی نانو سیال‌ها انجام شده است، ناتوانی این مدل‌ها در بیان دقیق مقدار برای ارجاع به این مقاله از عبارت ذیل استفاده نمایید:

Please cite this article using:

H. Kargarsharifabab, M. Mirzaeiamirabad, Design and construction of thermal conductivity measurement device and measuring of a magnetic nanofluids thermal conductivity, *Modares Mechanical Engineering*, Vol. 15, No. 5, pp. 419-422, 2015 (In Persian)

همگن برابر است با:

$$T - T_0 = \left(\frac{q}{4\pi k} \right) Ei\left(\frac{-r^2}{4at}\right) \quad (4)$$

که $Ei(x)$ انتگرال نمایی متغیر x است و برابر است با:

$$Ei(x) = - \int_{-x}^{\infty} \frac{e^{-u}}{u} du \quad (5)$$

در مرجع [14] حل تقریبی $Ei(x)$ برای مقادیر کوچک x به صورت زیر داده شده است:

$$Ei(x) = \gamma + \ln x + x + \frac{1}{4}x^2 + O(x^3) \quad (6)$$

با جاگذاری x با $\frac{r^2}{4at}$ خواهیم داشت:

$$-Ei(-x) = -Ei\left(\frac{r^2}{4at}\right) = -\gamma - \ln\left(\frac{r^2}{4at}\right) + \frac{r^2}{4at} - \left(\frac{r^2}{8at}\right)^2 + \dots \quad (7)$$

با افزایش زمان، ترم سوم به بعد قابل صرفنظر کردن بوده و با ترکیب معادلات (4) و (7) خواهیم داشت:

$$T - T_0 = \frac{q}{4\pi k} \left(\ln\left(\frac{4\alpha t}{r^2}\right) - \gamma \right) \quad (8)$$

با

$$T - T_0 = \frac{q}{4\pi k} \left(\ln(t) - \gamma - \ln\left(\frac{r^2}{4\alpha}\right) \right) \quad (9)$$

با گسترش معادله فوق خواهیم داشت:

$$T - T_0 = \frac{q}{4\pi k} \ln(t) + \frac{q}{4\pi k} \ln\left(\frac{4\alpha}{r^2}\right) - \frac{qr}{4\pi k} \quad (10)$$

با مشتق گرفتن از T نسبت به $\ln(t)$ خواهیم داشت:

$$\frac{dT}{d(\ln(t))} = \frac{q}{4\pi k} \quad (11)$$

با حل معادله فوق برای k خواهیم داشت:

$$k = \frac{q}{4\pi} \left(\frac{dT}{d(\ln(t))} \right)^{-1} \quad (12)$$

رابطه فوق حل تحلیلی برای پخش حرارتی ایده‌آل در مختصات یک بعدی استوانه‌ای بوده که با شرط لازم (برای جلوگیری از ایجاد انتقال حرارت جابجایی در سیال) صادق می‌باشد. از طرفی طبق قانون ژول داریم:

$$R = R_0 (1 + \beta \Delta T) \Rightarrow \Delta T = \frac{R - R_0}{\beta R_0} \quad (13)$$

و در نتیجه

$$k = \frac{q}{4\pi} \left(\frac{\beta R_0}{d(\ln t)} \right)^{-1} \quad (14)$$

$$q = \frac{R i^2}{l} \quad (15)$$

از نظر تجربی تغییرات R نسبت به خود R ناچیز است (کوچکتر از ۰/۱٪). پس می‌توان نوشت:

$$k = \frac{R i^2}{4l\pi} \left(\frac{R - R_0}{\ln t_2 - \ln t_1} \right)^{-1} \quad (16)$$

معادله‌ی حاصل، از نظر تجربی معادله‌ی بهینه است زیرا اندازه‌گیری طول سیم و جریان عبوری از سیم به سادگی و قبل از شروع کار دستگاه انجام می‌شود. بقیه اندازه‌گیری‌ها، از جنس اندازه‌گیری مقاومت و زمان بوده و سیستم به صورت ولتاژ ثابت کار می‌کند.

پارامترهای مختلف مشخص شده است که می‌توان به بررسی‌های لی و همکاران [2]، چوی و همکاران [3] و ژانگ و همکاران [4] اشاره نمود. روش سیم داغ گذرا بهترین روش برای اندازه‌گیری ضریب هدایت حرارتی سیالات و نانو سیالات است [6,5] و به عنوان روشی با بیشترین دقت و سرعت ترین راه شده است [7]. نانو سیال مغناطیسی، دسته‌های ویژه‌ای از نانو سیال هاست که کلوفیدهای مواد نانو مثل FeC ، Co ، $CoFe_2O_4$ ، γ - Fe_2O_3 ، Fe یا W بوده و به طور پایدار در یک مایع پراکنده شده‌اند. لی و همکاران [8] ویسکوزیته و ضریب انتقال حرارت هدایتی سیالات مغناطیسی را تحت تأثیر میدان مغناطیسی خارجی بررسی و به این نتیجه رسیدند که ویسکوزیته و ضریب انتقال حرارت هدایتی با افزایش میدان در درصد حجمی خاصی از سیال افزایش می‌آید. گاویلی و همکاران [9] بهبود ۲۰۰٪ در ضریب انتقال حرارت هدایتی فروسیال را به دست آورند.

پایه روش سیم داغ گذرا، اندازه‌گیری پاسخ زمانی دمای یک سیم به یک پالس لحظه‌ای الکتریکی است [10]. برای جلوگیری از الکتروولیز شدن سیال، سیم را توسط مواد مختلفی از جمله پلی‌استر، سیلیکا، اکسید آلمونیوم و اکسید تانتالیوم عایق می‌کنند [11]. اکثر بررسی‌های تجربی انجام شده برای تعیین ضریب هدایت حرارتی سیالات، از روش پل و تستون برای اندازه‌گیری پاسخ زمانی دمای یک سیم به یک پالس لحظه‌ای الکتریکی استفاده کرده‌اند. در طراحی گارنیر و همکاران [11]، با حذف پل و تستون، تغییرات مقاومت سیم داغ توسط یک نانو ولتمتر اندازه‌گیری می‌شود که برای رسیدن به این هدف جریان عبوری از سیم را ثابت نگهداشته‌اند. نکته قابل توجه در این روش این است که ثابت نگهداشتن هر متغیری قطعاً منجر به وارد شدن خطای ذاتی وسایل آزمایش در محاسبات می‌شود. در این طراحی سعی شده بدون نیاز به ثابت نگهداشتن جریان، این خطابه طور کلی حذف شود.

2- روش تجربی

2-1- تئوری روش سیم داغ گذرا

اساس روش سیم داغ گذرا بر اندازه‌گیری دمای گذرا یک سیم نازک داغ به عنوان یک منبع خطی تولید حرارت که در سیال نمونه قرار دارد، استوار است. نکته مهم، تغییرات دمایی سیم با توجه به ضریب هدایت حرارتی سیال اطراف آن است. تغییرات لحظه‌ای دمای ($T(t)$) یک سیم فلزی طویل نامحدود (با شاعع r_0) که با شار حرارتی ثابت q در واحد طول، در زمان $t > 0$ گرم می‌شود و در سیال همگن نامحدود (با ضریب هدایت و پخش حرارتی k_f و α_f) قرار دارد، با استفاده از معادله پخش حرارت گذرا یک بعدی در مختصات استوانه‌ای در جهت شاعع به صورت زیر به دست می‌آید [12].

$$\frac{1}{r} \frac{\partial}{\partial r} \left(r \frac{\partial T}{\partial r} \right) = \frac{1}{\alpha_f} \frac{\partial T}{\partial t} \quad (1)$$

که $T = T_0 + \Delta T$ دمای محیط در زمان t و شاعع قراردادهای T_0 دمای اولیه منبع و محیط، و ΔT تغییرات دمایی سیم با دمای اولیه است. این رابطه تابع شرایط مرزی زیر می‌باشد.

$$r = 0, t = 0 \Rightarrow \lim_{r \rightarrow 0} \left(r \frac{\partial T}{\partial r} \right) = -\frac{q}{2\pi k_f} \quad (2)$$

$$r = \infty, t \geq 0 \Rightarrow \lim_{r \rightarrow \infty} (\Delta T(r, t)) = 0 \quad (3)$$

حل معادله فوق بهمراه شرایط داده شده با روش سری‌های نامحدود توسط محققین بررسی شده است [14,13]. کارسلا و جاگر [13] نشان داده‌اند که تغییرات دمای گذرا در فاصله ۲ از یک منبع خطی پایدار و در یک محیط

3- نتایج و بحث

3-1- بررسی عملکرد دستگاه

از مایع‌های خالص مانند آب، اتیلن‌گلیکول و هوا برای بررسی درستی، تکرار پذیری، تجدیدپذیری و عدم قطعیت دستگاه استفاده شده است. در جدول ۱ ضریب هدایت حرارتی تجربی سیال‌های مختلف در دماهای مختلف با نتایج مرجع [17] مقایسه شده و مشخص است که دستگاه به خوبی می‌تواند تغییرات ضریب هدایت حرارتی با دما را با پیشترین خطای %1/۱۷ نشان دهد.

3-2- اندازه‌گیری ضریب هدایت حرارتی

جهت به دست آوردن مقدار ضریب انتقال حرارت هدایتی، Fe_3O_4 با سه درصد حجمی مختلف بر پایه آب تهیه گردید. تمام اندازه‌گیریها برای ضریب هدایت حرارتی نانوسيال Fe_3O_4 در دمای 25 درجه سانتیگراد انجام شده است. اندازه‌گیریها برای هر درصد حجمی، 25 دفعه تکرار شد که نتایج در شکل 2 نشان داده است.

با توجه به اهمیت آگاهی از ضریب هدایت حرارتی نانوسيالات مختلف از لحاظ جنس نانوسيال، غلظت نانوسيال و ...، از آنچا که بدليل تنوع نامحدود آنها در مراجع غیرقابل ارائه می‌باشند لازم است با استفاده از روابط تجربی ضریب هدایت حرارتی نانوسيالات را پیش‌بینی نمود. در این راستا روابط تجربی زیادی توسط محققین [18-20] در این زمینه ارائه شده است که هر رابطه برای شرایط خاصی دارای دقت کافی می‌باشد. یکی از روابط ارائه شده رابطه (17) توسط واسپ [21] می‌باشد.

$$k_{eff} = k_f \left[\frac{2 + k_{pf} + 2\emptyset(k_{pf} - 1)}{2 + k_{pf} - \emptyset(k_{pf} - 1)} \right], \quad k_{pf} = \frac{k_p}{k_f} \quad (17)$$

در این پژوهش توانایی این مدل برای اندازه‌گیری ضریب هدایت حرارتی با آب و سورفتکتانت اسیدسیتریک بررسی شده است. همانطور که در شکل 2 نشان داده شده است این مدل می‌تواند برای پیش‌بینی ضریب هدایت حرارتی Fe_3O_4 با آب و سورفتکتانت اسید سیتریک استفاده شود.

جدول 1 داده‌های اندازه‌گیری شده توسط دستگاه ساخته شده

اتیلن گلولک 26) (درجه) 0/255	هوا 26) (درجه) 0/255	آب 47) (درجه) 0/256	آب 32) (درجه) 0/257	آب 26) (درجه) 0/258	آب 22) (درجه) 0/259	آب 0/598 0/5989 0/5991 0/5993 0/5993 0/5994 0/6004 0/6008 0/6012 0/6017 0/6017 0/350% 0/7652%	ردیف
0/255	0/0263	0/639	0/6252	0/617	0/598	1	
0/255	0/0263	0/639	0/6214	0/613	0/5989	2	
0/256	0/0263	0/638	0/6263	0/616	0/5991	3	
0/257	0/0264	0/641	0/6232	0/613	0/5993	4	
0/258	0/0265	0/636	0/6222	0/611	0/5993	5	
0/259	0/0258	0/640	0/6261	0/611	0/5994	6	
0/259	0/0266	0/637	0/6234	0/610	0/6004	7	
0/26	0/0261	0/637	0/625	0/615	0/6008	8	
0/261	0/0268	0/639	0/6204	0/614	0/6012	9	
0/259	0/0265	0/638	0/623	0/617	0/5996	میانگین	
						مقدار	
						مرجع	
						خطا	
						میانگین	
						خطا	

2-2- اندازه‌گیری زمان و سیستم الکترونیکی

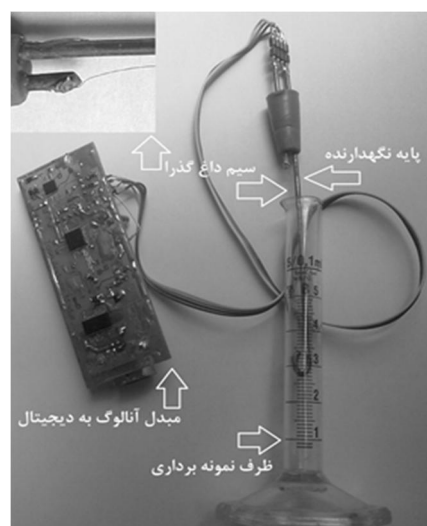
با توجه به معادله (16) بایستی تغییرات مقاومت سیم نسبت به تغییرات لگاریتم زمان اندازه‌گیری شود. با توجه به اینکه خطای اندازه‌گیری زمان در طول یک ثانیه توسط سیستم الکترونیکی ثابت است، برای اجتناب از بزرگ شدن خطای اندازه‌گیری زمان نسبت به زمان، اندازه‌گیریها 0/002 ثانیه بعد از تزیریق جریان به سیم داغ انجام می‌شود. جهت اندازه‌گیری دقیق و سریع، از تراشه جدید (شرکت آنالوگ دیوایس با کد 7190) [15] استفاده شده است. این تراشه قابلیت اندازه‌گیری ولتاژ به صورت تناسبی (مقاآمت سنجی) دارد. داده‌های این تراشه به میکروکنترلر ارسال و سپس به رایانه منتقل می‌گردد.

3- ساخت دستگاه سیم داغ گذرا

با توجه به اساس عملکرد روش سیم داغ گذرا و تئوری که در قسمت قبل ارائه شد، پراب خاصی طراحی شد که عکس آن در شکل 1 آمده است. برای ساخت دستگاه از سیم مسی با روکش لاک (برای جلوگیری از الکترولیز شدن سیال) به قطر $40 \mu\text{m}$ و طول 15 cm به عنوان پراب استفاده شده که ضریب تغییرات حرارتی مقاومت آن در مرجع [16] 0/0068 به ازای یک درجه‌ی سانتیگراد بیان شده است. مطابق با مشخصات تراشه استفاده شده، مدت زمان یک اندازه‌گیری یک ثانیه و جهت حذف خطای ناشی از حرکت سیال، یک دقیقه لازم است تا سیال در ظرف به حالت سکون برسد. با توجه به محدوده دمای عملکرد تراشه‌ها و قطعات استفاده شده، دستگاه در محدوده دمای 10 تا 50 درجه سانتیگراد عملکرد مناسب دارد. همچنین با توجه به معادلات استفاده شده در طراحی، دستگاه قادر است سیالهای مختلف از نظر میزان لزحت در محدوده $1/2 \times 10^{-5} \text{ kg/s.m}$ تا 2 kg/s.m اندازه‌گیری نماید.

4- تهیه نانوسيال مغناطیسی و تجهیزات آزمایش

نانوسيال مغناطیسی در این آزمایش ترکیب Fe_3O_4 با آب است و از سورفتکتانت اسیدسیتریک استفاده شده است. جهت تعیین اندازه ذرات از میکروسکوپ لغزشی استفاده شده و سایز ذرات به طور میانگین 25 nm تعیین شده است.

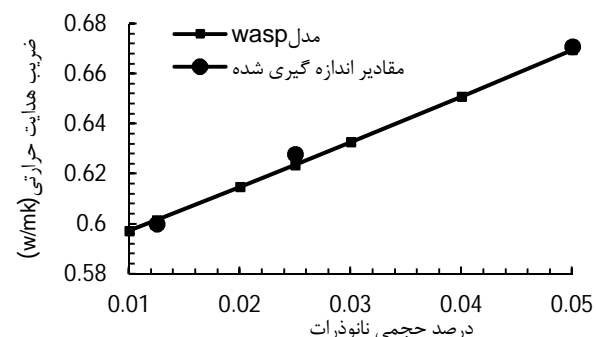


شکل 1 تصویر پراب دستگاه سیم داغ گذرا

ثابت اولر(0/5772)	γ
زیرنویس	
خواص موثر	eff
خواص سیال	f
خواص ذره	p
شرایط اولیه	0

7- مراجع

- [1] Z. Shams, M. Moghimian, A model for thermal conductivity of nanofluids-effect of interfacial layer and non-uniform size distribution of nanoparticles, *Modares Mechanical Engineering*, Vol. 15, No. 1, pp. 91-98, 2015 (In Persian)
- [2] S. Lee, S.-S. Choi, S. Li, and, J. Eastman, Measuring thermal conductivity of fluids containing oxide nanoparticles, *Journal of Heat Transfer*, Vol. 121, No. 2, pp. 280-289, 1999.
- [3] S. Choi, Z. Zhang, W. Yu, F. Lockwood, E. Grulke, Anomalous thermal conductivity enhancement in nanotube suspensions, *Applied physics letters*, Vol. 79, No. 14, pp. 2252-2254, 2001 .
- [4] X. Zhang, H. Gu, M. Fujii, Effective thermal conductivity and thermal diffusivity of nanofluids containing spherical and cylindrical nanoparticles, *Experimental Thermal and Fluid Science*, Vol. 31, No. 6, pp. 593-599, 2007 .
- [5] J. Pátek, J. Klomfar, Measurement of the thermal conductivity of argon and methane: a test of a transient hot-wire apparatus, *Fluid phase equilibria*, Vol. 198, No. 1, pp. 147-163, 2002 .
- [6] W. A. Wakeham, A. Nagashima, J. Sengers, *Measurement of the transport properties of fluids*: Blackwell Science Inc, 1991 .
- [7] S. Murshed, K. Leong, C. Yang, Enhanced thermal conductivity of TiO_2 -water based nanofluids, *International Journal of Thermal Sciences*, Vol. 44, No. 4, pp. 367-373, 2005 .
- [8] Q. Li, Y. Xuan, J. Wang, Experimental investigations on transport properties of magnetic fluids, *Experimental Thermal and Fluid Science*, Vol. 30, No. 2, pp. 109-116, 2005 .
- [9] A. Gavili ,F. Zabihi, T. D. Isfahani, J. Sabbaghzadeh, The thermal conductivity of water base ferrofluids under magnetic field, *Experimental Thermal and Fluid Science*, Vol. 41, pp. 94-98, 2012 .
- [10] A. Kadjo, J.-P. Garnier, J. Maye, S. Martemianov, A new transient two-wire method for measuring the thermal diffusivity of electrically conducting and highly corrosive liquids using small samples, *International Journal of Thermophysics*, Vol. 29, No. 4, pp. 1267-1277, 2008 .
- [11] J. Garnier, J. Maye, J. Saillard, G. Thévenot, A. Kadjo, S. Martemianov, A new transient hot-wire instrument for measuring the thermal conductivity of electrically conducting and highly corrosive liquids using small samples, *International Journal of Thermophysics*, Vol. 29, No. 2, pp. 468-482, 2008 .
- [12] J.-H. Lee, K. S. Hwang, S. P. Jang, B. H. Lee, J. H. Kim, S. U. Choi, C. J. Choi, Effective viscosities and thermal conductivities of aqueous nanofluids containing low volume concentrations of Al_2O_3 nanoparticles, *International Journal of Heat and Mass Transfer*, Vol. 51, No. 11, pp. 2651-2656, 2008 .
- [13] H. Carslaw, J. Jaeger, *Heat in solids*: Clarendon Press, Oxford, 1959 .
- [14] M. Kostic, K. C. Simham, Computerized, transient hot-wire thermal conductivity (HWTC) apparatus for nanofluids, *Proceedings of the 6th WSEAS International Conference on Heat and Mass Transfer (HMT'09)*, pp. 71-78, 2009 .
- [15] http://www.analog.com/static/importedfiles/data_sheets/AD7190.pdf
- [16] W. Hayt, J. Kemmerly, S. Durbin, *Engineering circuit analysis*: McGraw-Hill, 2011 .
- [17] C. Kumar, Nanomaterials for Medical Applications, Kirk Othmer Encyclopedia of Chemical Engineering, John Wiley & Sons, Inc., New York, 2007 .
- [18] W. Daungthongsuk, S. Wongwises, A critical review of convective heat transfer of nanofluids, *Renewable and Sustainable Energy Reviews*, Vol. 11, No. 5, pp. 797-817, 2007 .
- [19] K. Kwak, C. Kim, Viscosity and thermal conductivity of copper oxide nanofluid dispersed in ethylene glycol, *Korea-Australia Rheology Journal*, Vol. 17, No. 2, pp. 35-40, 2005 .
- [20] Y. Xuan, Q. Li, Heat transfer enhancement of nanofluids, *International Journal of Heat and Fluid Flow*, Vol. 21, No. 1, pp. 58-64, 2000 .
- [21] E. J. Wasp, J. P. Kenny, R. L. Gandhi, Solid-liquid flow: slurry pipeline transportation.[Pumps, valves, mechanical equipment, economics], Ser. *Bulk Mater. Handl.*; (United States), Vol. 1, No. 4, 1977 .



شکل 2 مقایسه مقادیر اندازه گیری شده با مدل واسپ

4- نتیجه گیری

تعیین ضریب هدایت حرارتی نانو سیالات مختلف در راستای رشد روزافزون استفاده از نانو سیالها و جهت طراحی دقیق دستگاه های انتقال حرارت، امری ضروری است. لذا ضمن بیان ساخته ای و نحوه ساخت دستگاه سیم داغ گذرا، پس از بررسی عملکرد دستگاه ساخته شده، روند بررسی تجربی تغییر ضریب هدایت حرارتی نانو سیال مغناطیسی شرح داده شده است. نتایج آزمایش ها نشان می دهد که مدل واسپ بخوبی می تواند برای پیش بینی ضریب هدایت حرارتی Fe_3O_4 با آب و سورفتکتان اسید سیتریک استفاده شود.

جهت انجام تحقیقات مشابه موارد زیر پیشنهاد می شود:

- جهت افزایش سرعت نمونه برداری، از آنالوگ سوئیچ های سریع تر استفاده شود.
- از سیم هایی با جنس مختلف مانند پلاتین، کروم-نیکل و تانتالیوم با قطر و طول متفاوت استفاده و اثر جنس و اندازه بررسی شود.

5- تشکر و قدردانی

در پایان از دانشگاه آزاد اسلامی واحد سمنان در خصوص حمایت از طرح پژوهشی با عنوان " طراحی و ساخت سامانه اندازه گیری ضریب هدایت حرارتی سیالات و نانو سیالات با روش سیم داغ گذرا " تحت قرارداد شماره 1107 تشکر و قدردانی می شود.

6- فهرست علائم

ضریب هدایت حرارتی (W/m.k)	k
جریان الکتریکی (A)	i
انرژی حرارتی بر واحد طول (W/m)	q
مقاومت الکتریکی (Ω)	R
شعاع (m)	r
دما (°C)	T
زمان (s)	t
فاصله محوری (m)	x
علائم یونانی	
ضریب پخش حرارت (m^2/s)	α
ضریب تغییرات حرارتی مقاومت سیم ($1/^\circ C$)	β
چگالی (kg/m^3)	ρ
درصد حجمی نانوذرات	\emptyset